

01; 07; 09

© 1991

АВТОКОЛЕБАТЕЛЬНЫЕ РЕЖИМЫ В ВВОЛНОВОДЕ С НЕЛИНЕЙНЫМ ДИЭЛЕКТРИКОМ

М.В. И с а к о в, В.А. П е р м я к о в

В последнее время появился ряд работ, посвященных анализу явлений в волноводах, заполненных нелинейным диэлектриком [1-3]. Анализ физических процессов в таких волноводах важен, в частности, с точки зрения создания нелинейных элементов для устройств КВЧ и оптического диапазонов, где размеры этих элементов становятся сравнимыми с длиной волны. Однако в [1] рассматривался случай слабой нелинейности, а в работах [2, 3] анализ был ограничен случаем сравнительно тонкой нелинейной вставки. Существенно, что в этих работах рассматривалась только стационарная задача, в то время как для работы нелинейного элемента важен как учет изменения пространственной структуры поля в нелинейной среде, так и анализ переходных процессов при взаимодействии мощного импульса с нелинейным элементом. Ниже рассмотрена нестационарная задача падения мощного импульса на нелинейную вставку в прямоугольном волноводе. Подробно проанализирован случай положительной нелинейности ($\partial \mathcal{E} / \partial |E| > 0$). При этом показано, что при определенных размерах нелинейности вставки и достаточно большой амплитуде падающего поля возможно существование автоколебательных режимов, при которых происходит периодическое изменение пространственного распределения поля в нелинейной среде.

Рассмотрим прямоугольный волновод ширины d . Ось z направлена вдоль волновода. В областях $z < 0$ и $z > l$ волновод заполнен однородным диэлектриком с диэлектрическими проницаемостями \mathcal{E}_1 и \mathcal{E}_3 соответственно. В области $0 \leq z \leq l$ помещена плоская вставка из нелинейного диэлектрика. Из области $z < 0$ на нелинейную вставку падает волна типа H_{01} , имеющая единственную компоненту электрического поля, перпендикулярную широкой стенке волновода. При этом амплитуда импульса линейно нарастает от нулевых значений до значения E_{max}^n за время t_i , а затем остается неизменной.

Пусть зависимость диэлектрической проницаемости \mathcal{E} от времени и амплитуды электрического поля в некоторой точке пространства определяется уравнением релаксационного типа, аналогичным использованному в [4]:

$$\tau \frac{\partial \mathcal{E}}{\partial t} + \mathcal{E} = \frac{g|E|^2 + \rho}{\mu|E|^2 + \chi}, \quad (1)$$

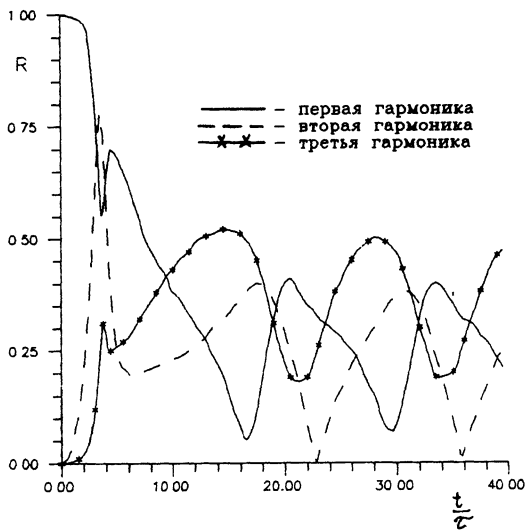


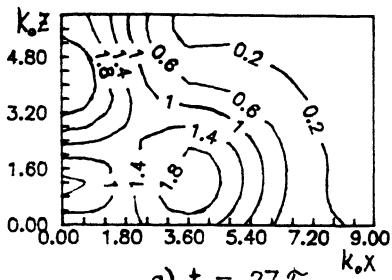
Рис. 1.

где φ , μ , ρ , r – некоторые константы. Этот закон описывает как положительную, так и отрицательную нелинейности с насыщением. Наиболее интересным представляется случай $\rho < 0$, $r > 0$, $\mu, \varphi > 0$, когда в отсутствии поля $E < 0$, а в достаточно мощных полях E положительна. При этом полагаем, что время релаксации диэлектрической проницаемости τ много больше периода высокочастотных колебаний $T_1 = 1/\omega$ и времени релаксации амплитуды поля $T_2 = l/c$. Тогда можно считать, что электромагнитное поле зависит от времени параметрически, и для расчета поля в нелинейном диэлектрике в некоторый момент времени можно воспользоваться уравнением Гельмгольца для линейной неоднородной среды

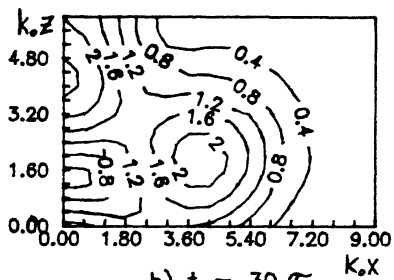
$$\Delta E + k_o^2 \epsilon(x, z, t) E = 0. \quad (2)$$

Уравнение (2) должно быть дополнено граничными условиями равенства нулю электрического поля E на узкой стенке волновода и непрерывности тангенциальных составляющих электрического и магнитного полей на границах раздела линейных и нелинейного диэлектриков.

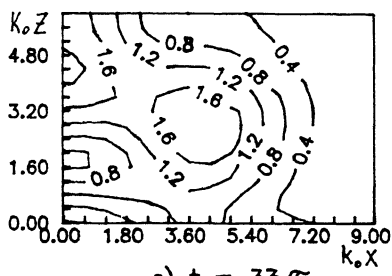
Уравнение (1) решается с помощью явной конечно-разностной схемы. Для решения (2) применялся метод конечных элементов [5]. Получаемая в результате СЛАУ решалась методом бисопряженных градиентов [6]. Время счета одного временного интервала на ЭВМ БЕСТА-88 составляло от 2 до 5 мин при длине нелинейной вставки $k_o l = 6$ и ширине волновода $k_o d = 18$.



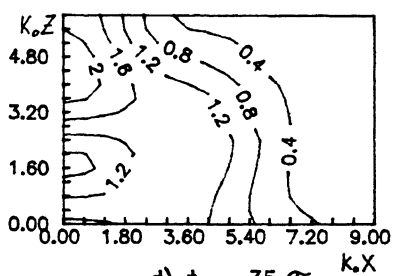
a) $t = 27 \tau$



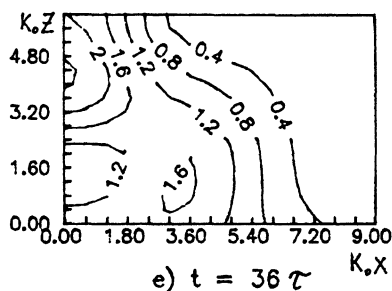
b) $t = 30 \tau$



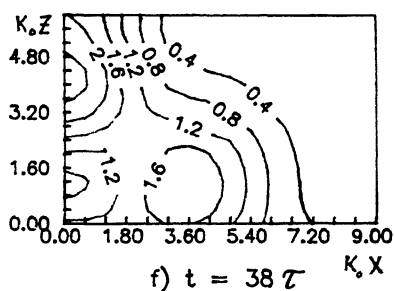
c) $t = 33 \tau$



d) $t = 35 \tau$



e) $t = 36 \tau$



f) $t = 38 \tau$

Рис. 2.

Были проведены численные эксперименты при различных значениях размеров нелинейной вставки и при значениях параметров диэлектрика: $\varrho = \mu = 1$, $\rho = 0.5$, $r = 1$. Эксперименты показали, что при толщине нелинейного слоя порядка длины волны и ширине волновода $k_0 l = 6$, либо $k_0 l = 12$ в нелинейном слое после завершения переходного процесса формируется стационарное распределение поля. При этом с изменением максимальной амплитуды падающего поля E_{max}^n наблюдаются гистерезисные эффекты, аналогичные рассматривавшимся ранее для одномерных задач [7]. При $k_0 l = 18$ и $E_{max}^n > 1.1$ распределение поля в нелинейном волноводе не стабилизируется и возникают автоколебания. На рис. 1 представлены зависимости коэффициентов отражения 1, 3 и 5 пространствен-

ных гармоник от времени для импульса с параметрами $E_{max}^n = 1.2$, $t_c = 2\tau$. Видно, что вначале слой остается закритическим, хотя амплитуда поля быстро достигает максимального значения. Затем, при $t > t_c$ начинается переходный процесс, и формируется волноводный канал. При формировании волноводного канала максимум поля, существующий на освещенной границе, перемещается вглубь волновода. Такая динамика распределения поля в нелинейной среде качественно согласуется с полученной на схожей модели в работе [8] в приближении параболического уравнения. На формирование волноводного канала требуется время $t \approx 10\tau$. Однако в дальнейшем этот процесс не устанавливается. На освещенной границе формируются два боковых максимума поля, которые начинают смещаться вглубь нелинейного слоя и сливаются с главным максимумом на оси волновода. Одновременно формируются новые максимумы на освещенной границе и распределение повторяется. Для рассматриваемого значения E_{max}^n период автоколебаний составил $t \approx 12\tau$. На рис. 2 показаны распределения амплитуды поля в различные моменты времени за один период автоколебательного процесса. Можно утверждать, что автоколебания возникают вследствие перераспределения энергии между различными пространственными модами волновода с нелинейным заполнением. Основанием для этого утверждения служит то, что в узком волноводе, где большая часть мощности переносится основной модой волновода, автоколебаний не наблюдается. Существование автоколебательных режимов может наложить определенные ограничения на конструирование и использование нелинейных СВЧ и оптических устройств.

С п и с о к л и т е р а т у р ы

- [1] Арутюнян Х.С., Барсуков К.А. // Изв. вузов. Радиофизика. 1990. Т. 33. С. 588-603.
- [2] Исааков М.В., Пермяков В.А. // Изв. вузов. Радиофизика. 1988. Т. 31. С. 1139-1140.
- [3] Голованов О.А. // Изв. вузов. Радиофизика. 1990. Т. 33. С. 793-803.
- [4] Ахманов С.А., Сухоруков А.П., Хохлов Р.В. В сб.: Нелинейная оптика. Новосибирск, 1968. С. 348-356.
- [5] Митчелл Э., Уэйт Р. Метод конечных элементов для уравнений с частными производными. М.: 1981. 216 с.
- [6] Sarcar T.K. // J. Electromag. Waves Appl. 1987. V. 1. P. 223-242.

- [7] Колоколов А.А., Сукаев А.И. // Изв. вузов.
Радиофизика. 1978. Т. 21. С. 1309-1317.
- [8] Горбунов Л.М., Тараканов С.В. // ЖЭТФ.
1991. Т. 99. С. 58-67.

Поступило в Редакцию
27 мая 1991 г.